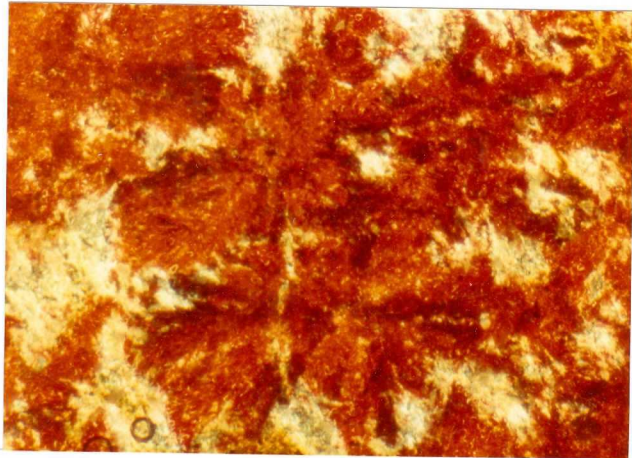
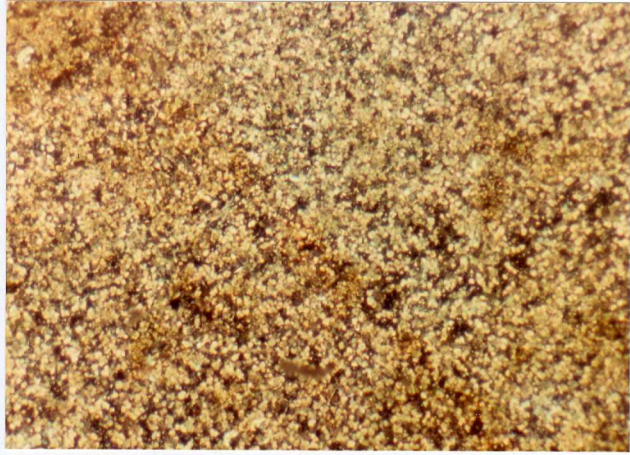


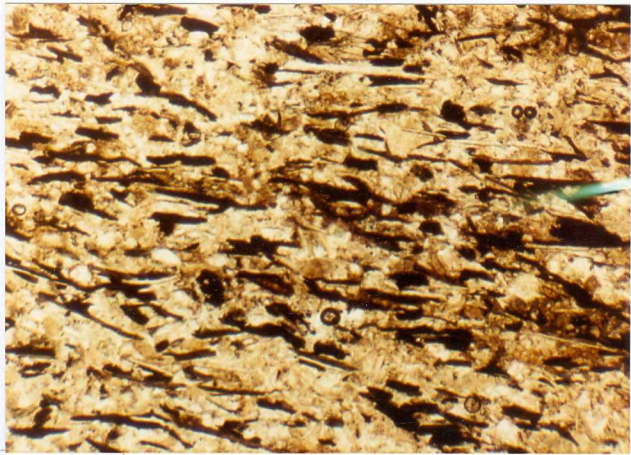
F.1.- Granito de dos micas mostrando un intenso estado de alteración de las plagioclasas. También puede observarse la alteración de las biotitas. Cerro de La Marmota, El Pardo. NX, x35, muestra 9201.



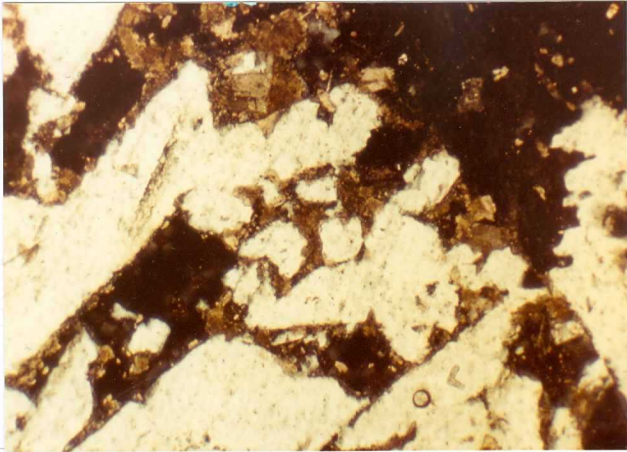
F.10.- Caliza fibrorradiada teñida con abundantes filosilicatos intercristalinos. Este hábito en la calcita va asociado a la presencia de filosilicatos y posiblemente a la de superficies de hipergenización. NX, x56, muestra 9330. Unidad 6 del Mioceno, niveles carbonáticos (7).



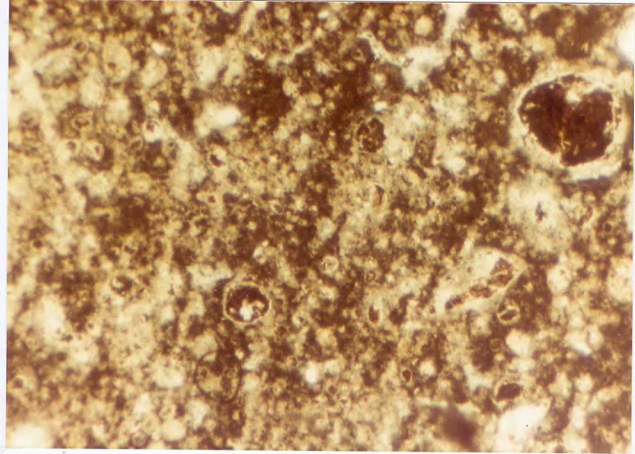
F.11.- Dolomía microcristalina isogranular, cristales anhedrales y óxidos irregularmente repartidos. NX, x56 muestra 9209. Unidad 6 del Mioceno, niveles carbonáticos (7).



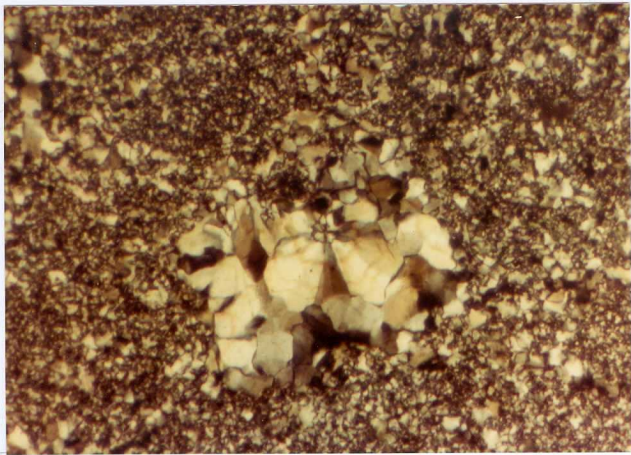
F.12.- Samita yesífera arcósica muy rica en biotitas, las cuales presentan un intensó estado de alteración. N//, x43'7, muestra 3628. Sondeo del Polideportivo de San Blas. Unidad 3 del Mioceno.



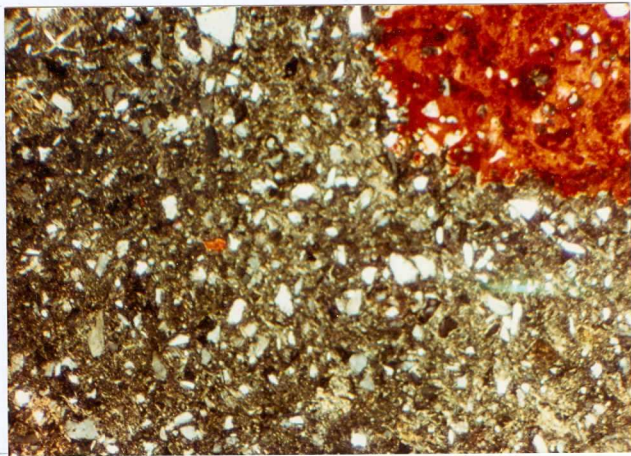
F.13.- Yeso mesocristalino grueso con cristales idiomorfos y subidiomorfos de tendencia lenticular en el seno de calcita mesocristalina. Canteras de Valdemingomez.NX, x56, muestra 2012. Unidad 2 del Mioceno.



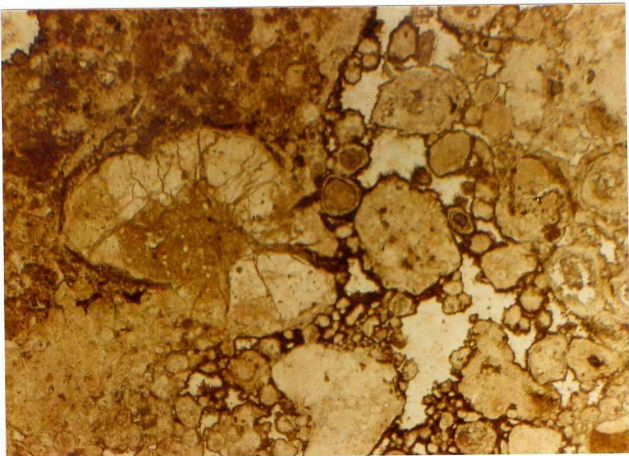
F.14.- Caliza edafizada con rasgos de estructura pisolítica edáfica. Estación de O'Donnell. N//, x56. Muestra 1111. Unidad 6 del Mioceno, niveles carbonáticos (7).



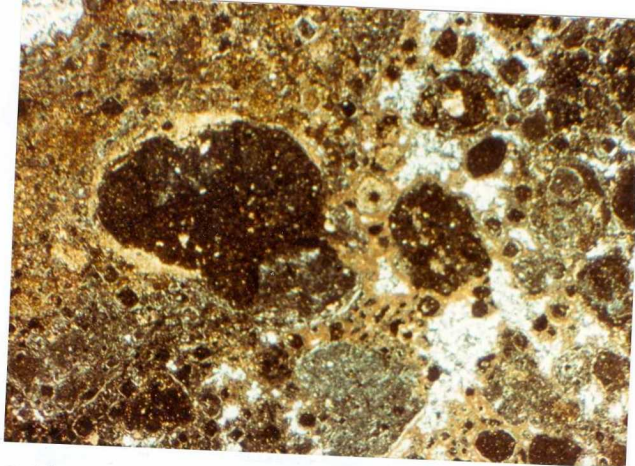
F.15.- Silex en el que predomina el cuarzo microcristalino y mesocristalino fino; motivo central constituido por cemento calcedonítico. NX, x56, muestra 9266. Unidad 6 del Mioceno. Zona sur de Almodovar.



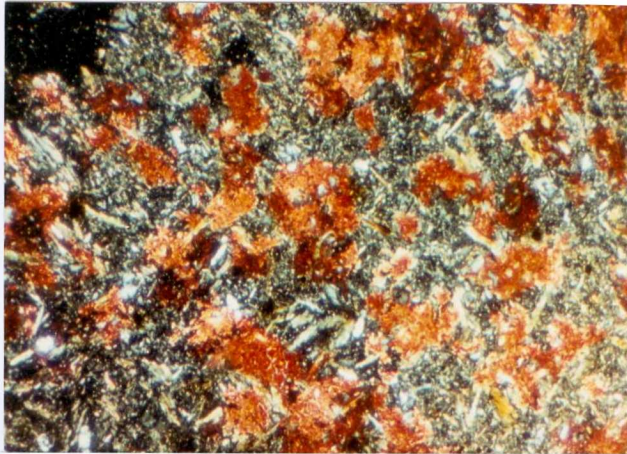
F.16.- Samita yesífera arcósica con cemento calcítico (teñido) irregularmente distribuido (posible relleno de pedotúbulo). Sondeo S.G.O.P.-l.NX, x35, muestra 3509. Unidad 9 del Mioceno.



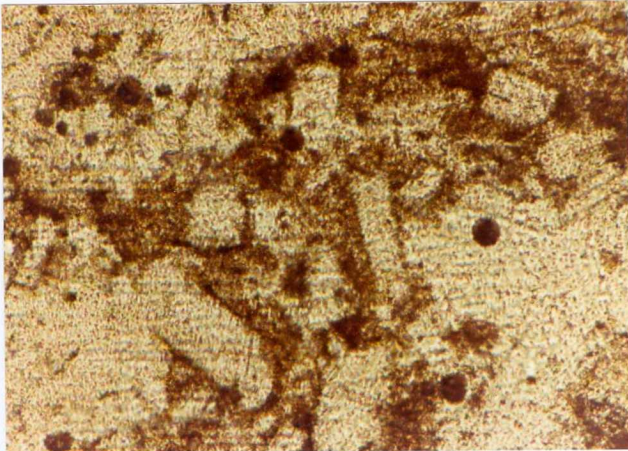
F.17.- Opalo con rasgos de textura globular e indicios de textura perlítica y cemento de cuarzo microcristalino y calcedonia. N//, x35, muestra 9245. Zanja de O'Donnell, Unidad 9 del Mioceno, niveles de silex (11).



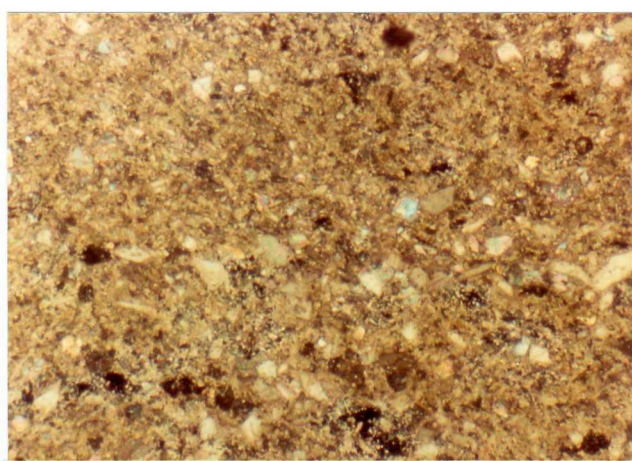
F.18.- Idem con NX, x35.



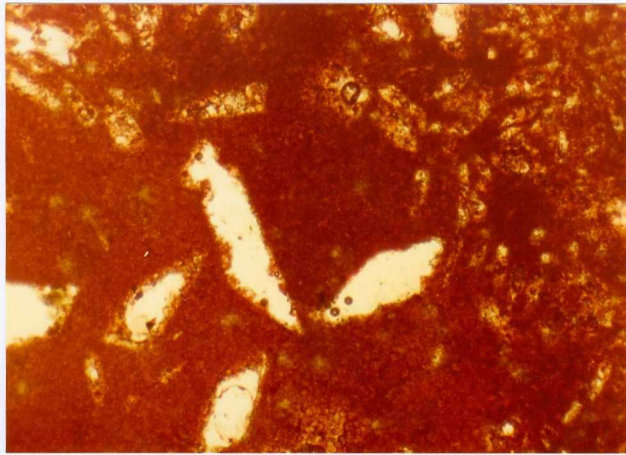
F.19.- Caliza mesocristalina (teñida) con fibrosos de la arcilla. NX, x56, muestra 2009. Canteras de Valdemingomez. Niveles carbonáticos entre yesos. Unidad 2 del Mioceno.



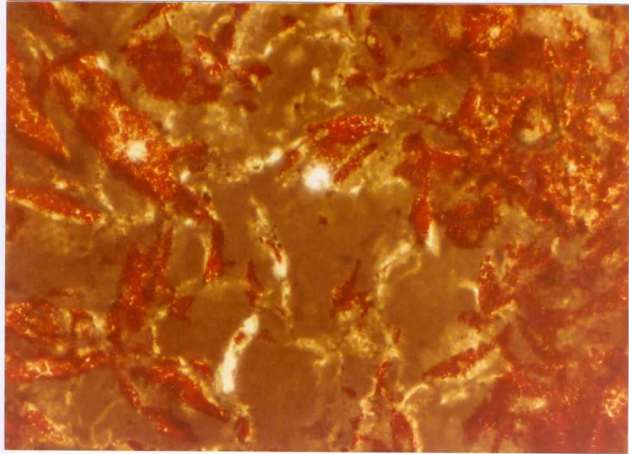
F.2.- Yeso con fantasmas de formas prismáticas de anhidrita delimitadas por dolomicrita que en la roca precursora ocupaba posición intercristalina con respecto a la anhidrita. Canteras de Valdemingomez. N//, x 140, muestra 2005. Unidad 2 del Mioceno.



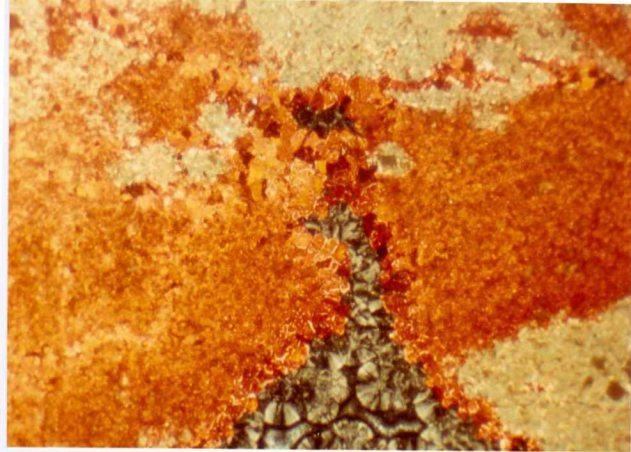
F.20.- Caliza heterograngular con cristales porfídicos anhedrales (cemento) y otros euhedrales y subeuhedrales posiblemente relacionados con moldes de yeso. Cumbres de Vallecas. NK, x56m muestra 2121. Unidad 5 del Mioceno.



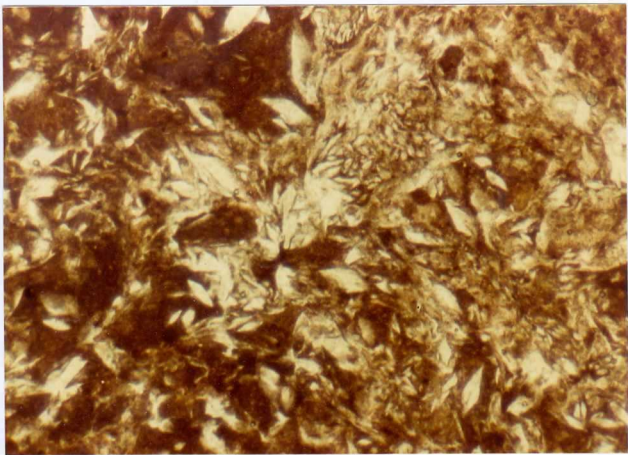
F.21.- Caliza microcristalina(teñida) con moldes de yeso lenticular, parcial o totalmente rellenos de cemento calcítico. Los más pequeños muestran un mayor gardo de relleno. Cumbres de Vallecas. N//, x35, muestra 2119. Unidad 5 del Mioceno.



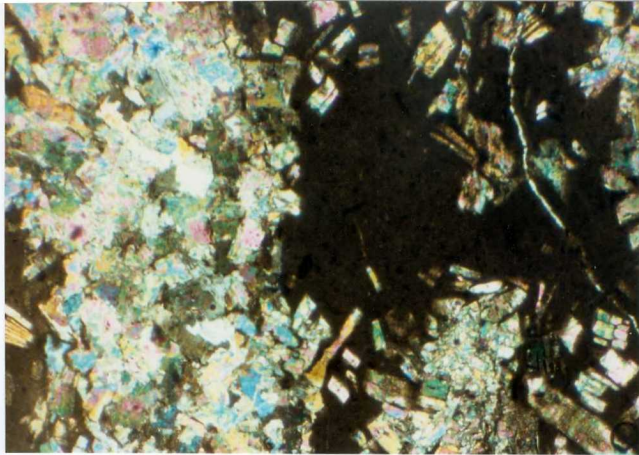
F.22.- Dolomicrita margosa con moldes de yeso lenticular rellenos de calcita (teñida). N//, x35, muestra 1923. Cerro Mirones. Unidad 5 del Mioceno.



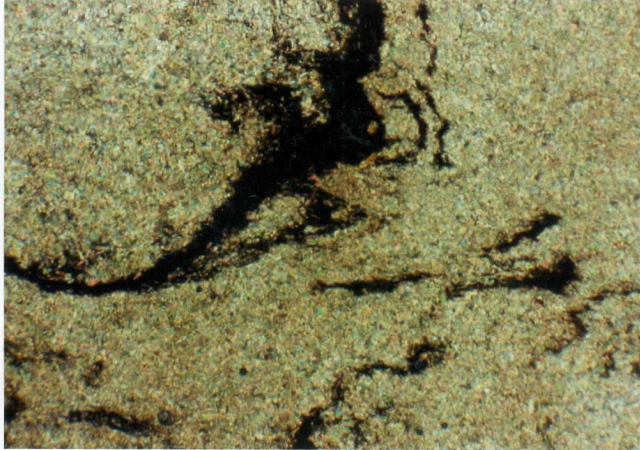
F.23.- Caliza dolomítica con sílice criptocristalina y cemento calcedonítico. Cerro Mirones. NX, x35, muestra 1931. Unidad 5 del Mioceno, niveles de silex (11).



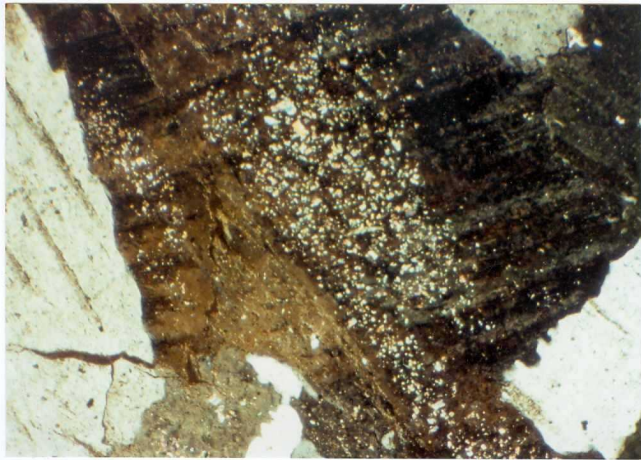
F.24.- Dolomicrita con poros pseudomorficos de cristales lenticulares de yeso. Cerro Mirones. N//, x56, muestra 1926. Unidad 5 del Mioceno.



F.25.- Anhidrita mesocristalina con indicios de yesificación en tránsito a bandas de magnesita micrítica con cristales dispersos y glándulas de anhidrita. Muestra 3415b, Unidad 2 del Mioceno. Sondeo de la Piscina municipal de Vallecas. N X x 30



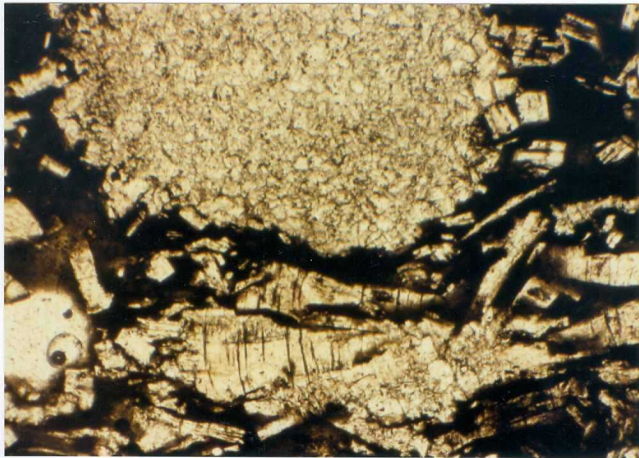
F.26.- Anhidrita microcristalina con magnesita mi-
cótica deformada halocineticamente dando estra-
turas de glándulas y de tipo "migmatítico". Muestra
3420b . Unidad 2 del Mioceno. Sondeo de la Piscina
municipal de Vallecas. N X x 30.



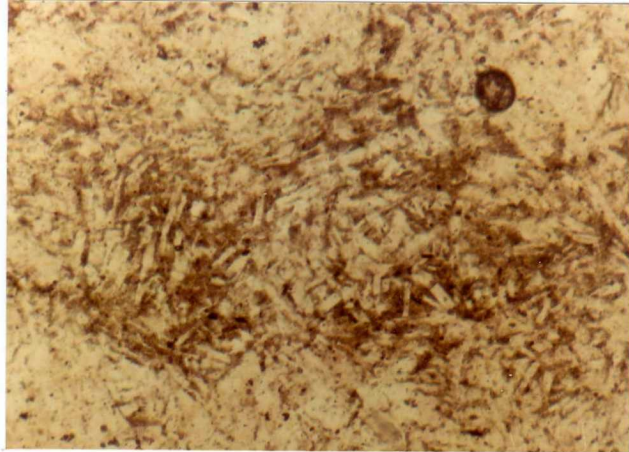
F.27.- Yeso macrocristalino con inclusiones de anhidrita y magnesita micrítica intercristalina con detriticos y anhidrita asociados. Muestra 3620
Sondeo del Polideportivo municipal de San Blas.
N X x 30.



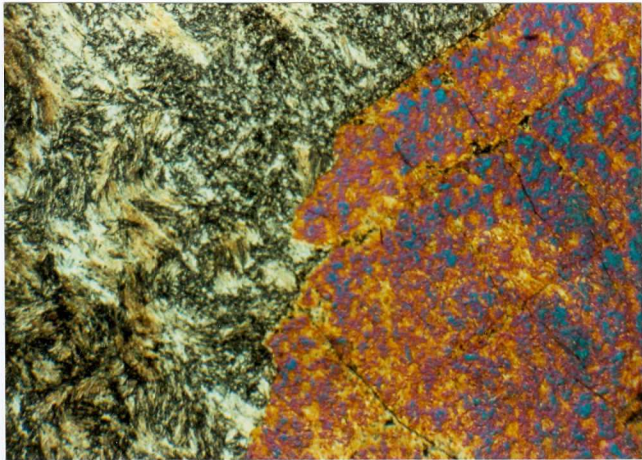
F.28.- Anhidrita con bandas más y menos glandulares de yeso fibroso y algo de yeso disperso y endomórfico de anhidrita. Muestra 3631. Unidad 2 del Mioceno. Sondeo del Polideportivo de San Blas. N X x 30.



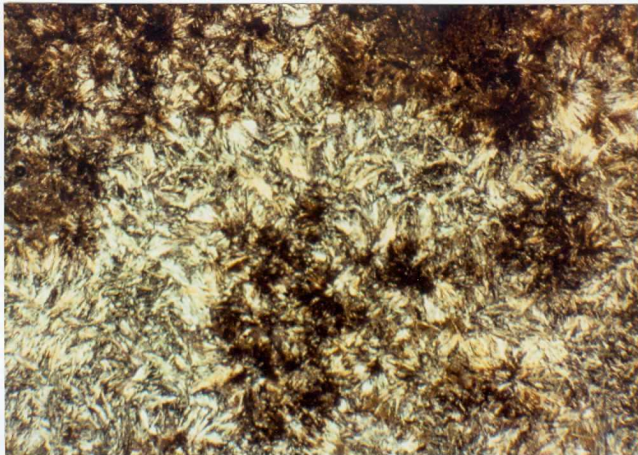
F.29.- Anhidrita mesocristalina gruesa con algunos cristales de tipo "bow-tie" y glándulas de anhidrita microcristalina, todo ello en el seno de magnesita micrítica. Muestra 3421. Unidad 2 del Mioceno. Sondeo de la piscina municipal de Vallecas. (174m.) N// x 30.



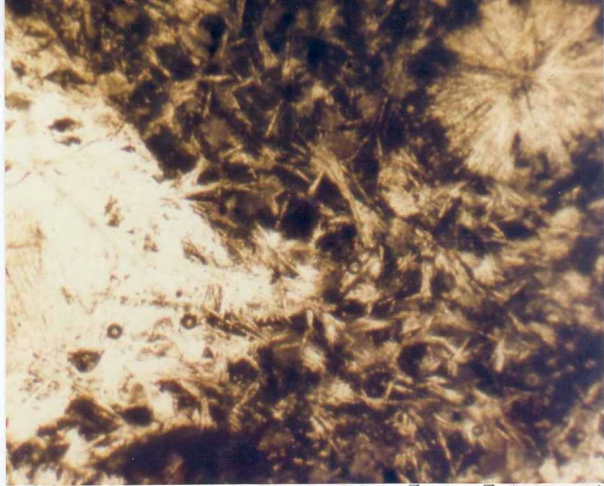
F.3.- Yeso con fantasmas de formas prismáticas de anhidrita sólo patente donde hay cierto contenido de carbonatos (dolomicritas), que han conservado dichas formas, las cuales constituyen una prueba inequívoca del carácter secundario de estos yesos. Canteras de Valdemingómez. N//, x56, muestra 2008. Unidad 2 del Mioceno.



F.30.- Cristal de glauberita en contacto con polihalita fibrosa. Muestra 3422. Unidad 2 del Mioceno. Sondeo de la Piscina Municipal de Vallecas (177 m.) N X x 30.



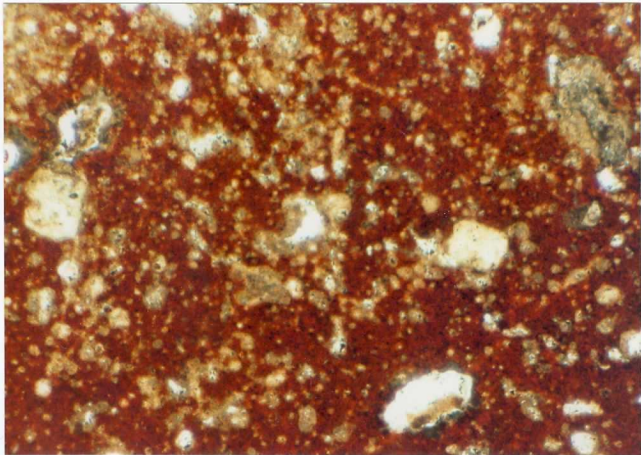
F. 31.- Polihalita acicular con estructura en enrejado y estructura esferular incipiente. Magnesita micrítica asociada. Muestra 3422. Unidad 2 del Mioceno. Sondeo de la Piscina municipal de Vallecas. N X x 30.



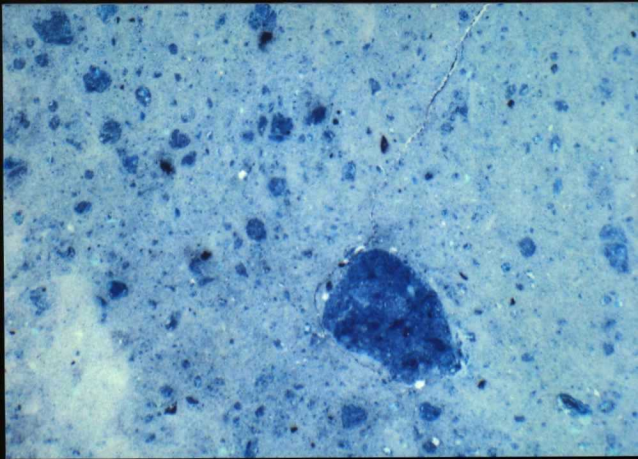
F.32.- Facies halita-polihalita. En la Foto se observa un cristal de halita con inclusiones de polihalita en los bordes, polihalita en el seno de magnesita y un esferulito de polihalita. Muestra 3422b. Unidad 2 del Mioceno. Sondeo de la Piscina municipal de Vallecas. N // x 30.



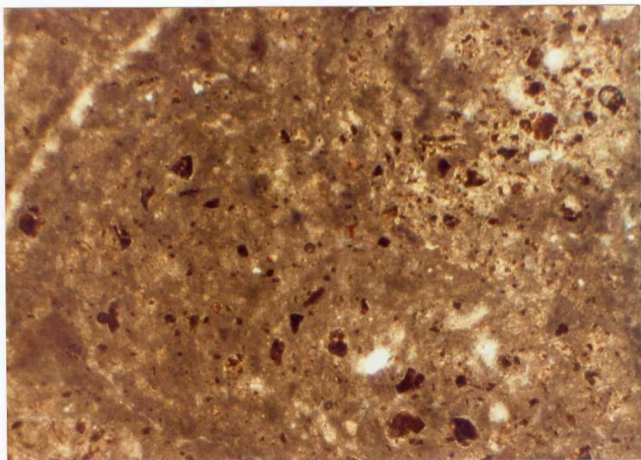
F.33.- Dolomía microcristalina (sacaroidea) con al-
gún detritico disperso. Muestra 4011. Unidad 6 del
Mioceno. Urbanización Pablo Iglesias 2^a fase. Nor-
te del Cerro del Telegrafo. N X x 10.



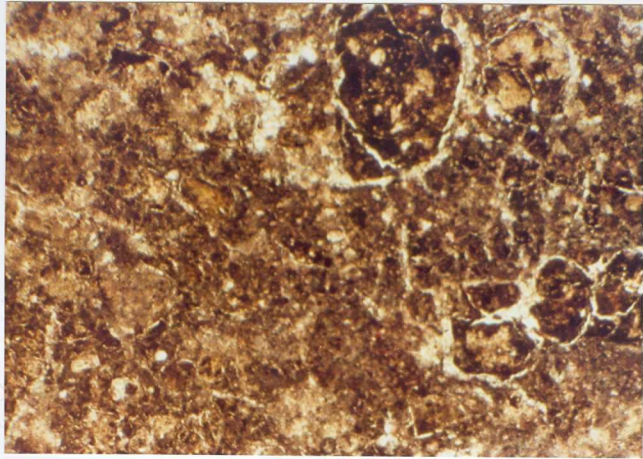
F.34.- Facies calcodolomíticas con "grumos" de arcilla. Muestra 4021. Unidad 6 del Mioceno. Base del Cerro del Telégrafo. N // x 10.



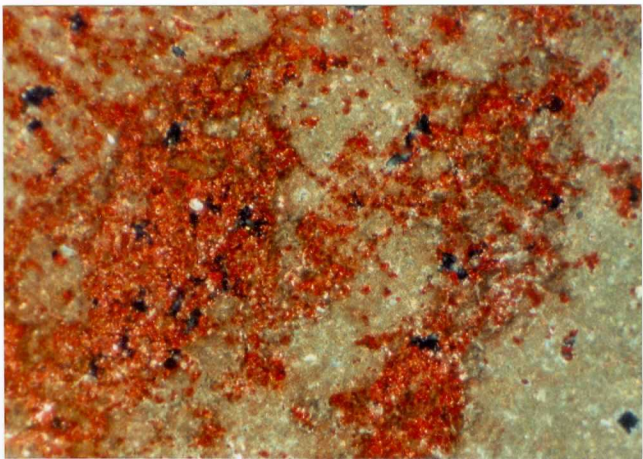
F.35.- Dolomía con "grumos" de arcilla. Muestra 4021. Unidad 6 del Mioceno. Base del Cerro del Telegrafo. N // x 10.



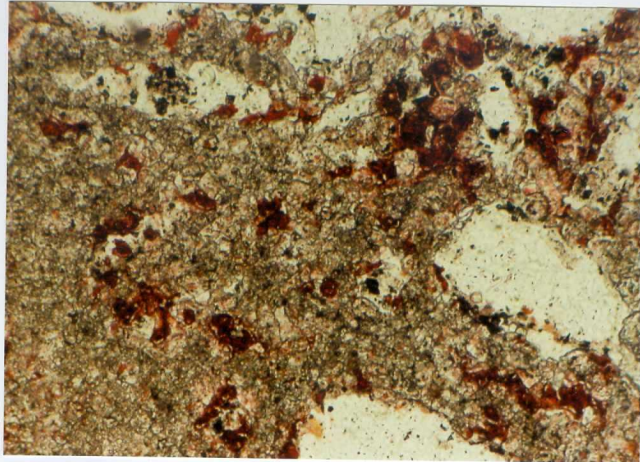
F.36.- Dolomías con grumos de material arcilloso.
Muestra 3802. Unidad 3 del Mioceno. Base de la sec-
ción del Cerro de los Guardias. Paracuellos de Ja-
rama. N // x 10.



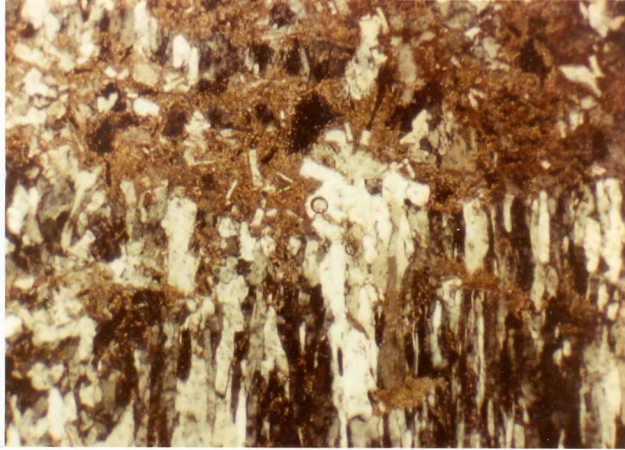
F.37.--Dolomía pisolítica-brechoide (calcreta).
Muestra 3807. Unidad 4 del Mioceno. Nivel de cal-
creta en la base de la sección del Cerro de los
Guardias. Paracuellos de Jarama. N // x 10.



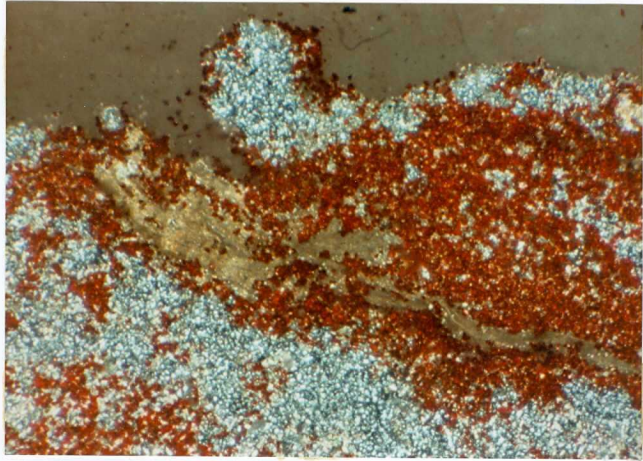
F.38.- Dolomicrita parcialmente dedolomitizada, con algunos pequeños poros pseudomórficos de yeso, rellenos de calcita y algunos detriticos aleuríticos. Muestra 4029. Unidad 9 del Mioceno. Techo del Cerro del Telegrafo. N X x 30.



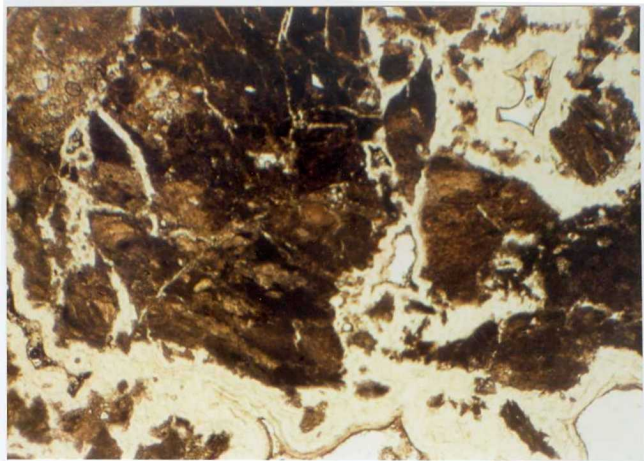
F.39.- Dolomía microcristalina con dedolomitización incipiente y moldes de mesocristales de yeso. Muestra 4004. Unidad 6 del Mioceno. Sección del Cerro del Telégrafo. N X x 65.



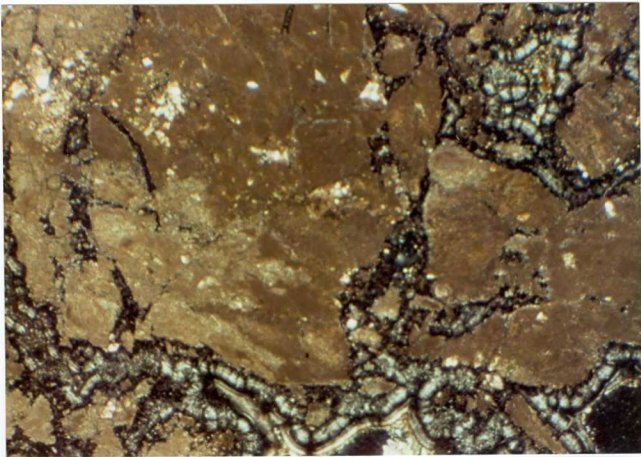
F.4.- Yeso fibroso y carbonato microcristalino (dolomita) algo margoso, con cristales de yeso súedomórfico de anhidrita. Canteras de Valdemingómez. NX, x35, muestra 2003. Unidad 1 del Mioceno.



F. 40 - Sílex (cuarzo microcristalino y ópalo) con caliza microcristalina y dolomícrata. Muestra 4031. Unidad 9 del Mioceno. Techo del Cerro del Telégrafo. Nicol es X x 30.



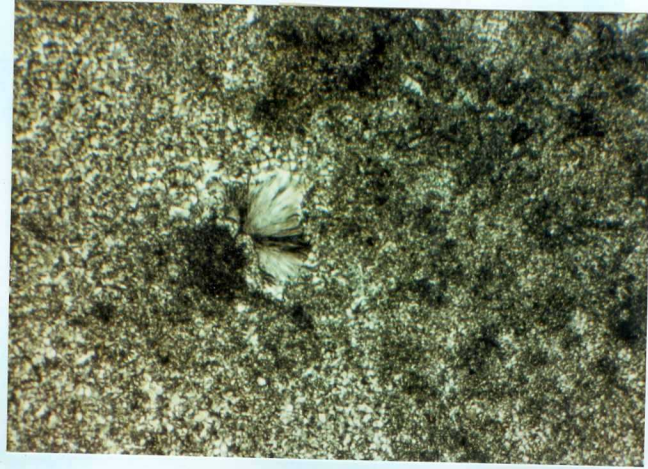
F.41.- Silex en dolomía brechoide constituida por cemento de calcedonita y cuarzo microcristalino. Muestra 4028. Unidad 9 del Mioceno. Techo del Cerro del Telégrafo. N // x 30.



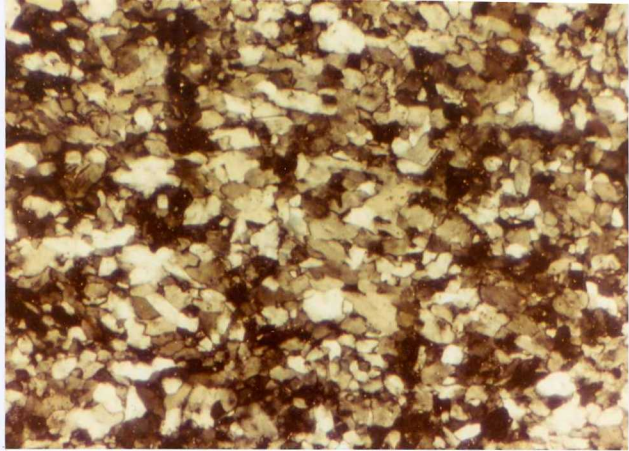
F.42,- Idem con nícoles cruzados X 30.



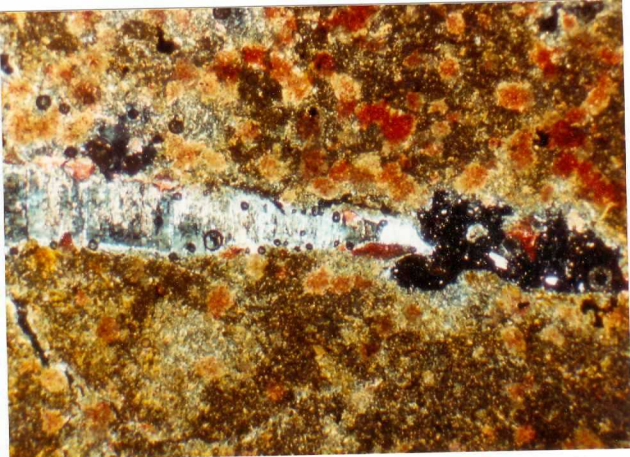
F.43.- Silex mostrando textura de cuarzo en mosaico microcristalino relativamente isogranular. Muestra 4020. Unidad 6 del Mioceno. Parte inferior del Cerro del Telegrafo. Nicoses X x 30



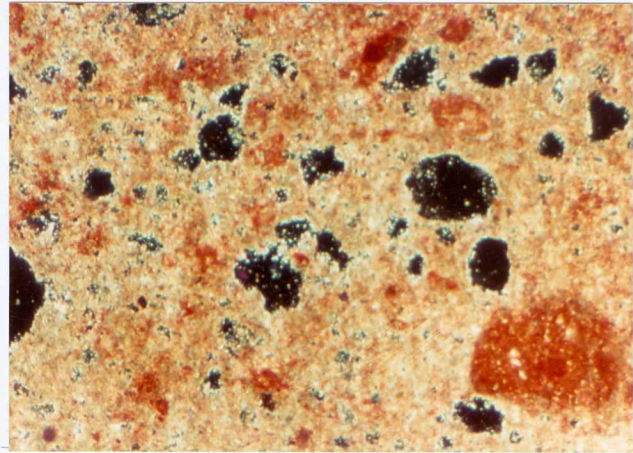
F.44.- Sílex mostrando textura de sílice cripto-cristalina y cuarzo en mosaico microcristalino heterograngular así como cemento de calcedonia. Muestra 4020. Unidad 6 del Mioceno. Parte inferior del Cerro del Telegrafo, Nicoles X x 30.



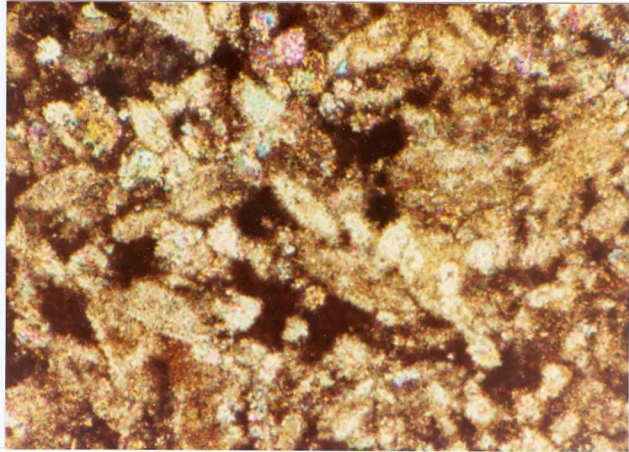
F.5.- Yeso en mosaico mesocristalino fino, presentando los cristales extinción homogénea. Canteras de Valdeminguemez. NX, x56, muestra 2004. Unidad 1 del Mioceno.



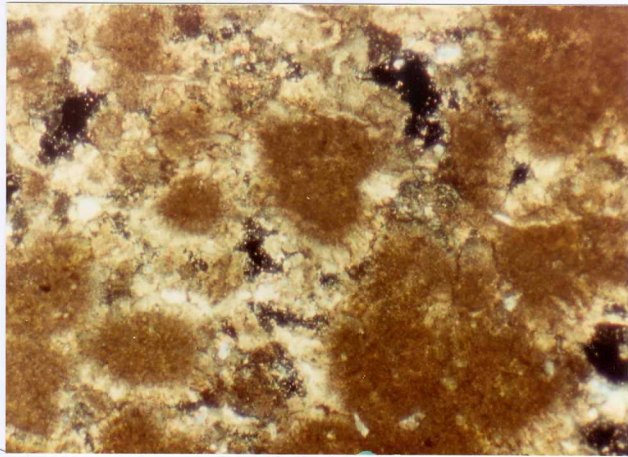
F.6.- Carbonatos (dolomita y calcita, esta última teñida de rojo) con filosilicatos intercristalinos, mostrando una vénula rellena de yeso. Intercalaciones de este tipo aparecen en los yesos tableados. NX, x35. Unidad 2 del Mioceno.



F.7.- Dolomicrita porosa dedolomitizándose en masas irregulares (calcita teñida de rojo). NX, x56, muestra 9244. Unidad 6 del Mioceno, niveles carbonáticos (7).



F.8.- Caliza con muchos cristales sedomórficos de cristales lenticulares de yeso. NX, x56, muestra 9250. Unidad 6 del Mioceno, niveles carbonáticos basales (7).



F.9.- Caliza parcialmente recristalizada mostrando restos de material micrítico y abundante porosidad secundaria. NX, x56, muestra 9303. Unidad 6 del Mioceno, niveles carbonáticos (7).